

Eingabe: Farbmimetrisches Offset-Reflektiv-System ORS18a

für Buntton  $h^* = lab^*h = 36/360 = 0.1$

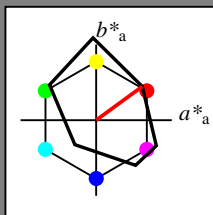
$lab^*tch$  und  $lab^*nch$

D65: Buntton O

LCH\*Ma: 35 76 36

olv\*Ma: 1.0 0.0 0.0

Dreiecks-Helligkeit  $t^*$



ORS18a; adaptierte CIELAB-Daten					
	$L^*=L^*_a$	$a^*_a$	$b^*_a$	$C^*_{ab,a}$	$h^*_{ab,a}$
O <sub>Ma</sub>	35.32	60.99	44.6	75.56	36
Y <sub>Ma</sub>	83.65	-4.11	108.86	108.94	92
L <sub>Ma</sub>	43.49	-61.66	46.73	77.37	143
C <sub>Ma</sub>	52.18	-28.14	-32.36	42.9	229
V <sub>Ma</sub>	13.71	52.15	-59.7	79.28	311
M <sub>Ma</sub>	37.69	79.56	-33.73	86.42	337
N <sub>Ma</sub>	8.99	0.0	0.0	0.0	0
W <sub>Ma</sub>	92.16	0.0	0.0	0.0	0
RCIE	39.92	58.74	27.99	65.07	25
J <sub>CIE</sub>	81.26	-2.88	71.56	71.62	92
G <sub>CIE</sub>	52.23	-42.41	13.6	44.55	162
BCIE	30.57	1.41	-46.46	46.49	272

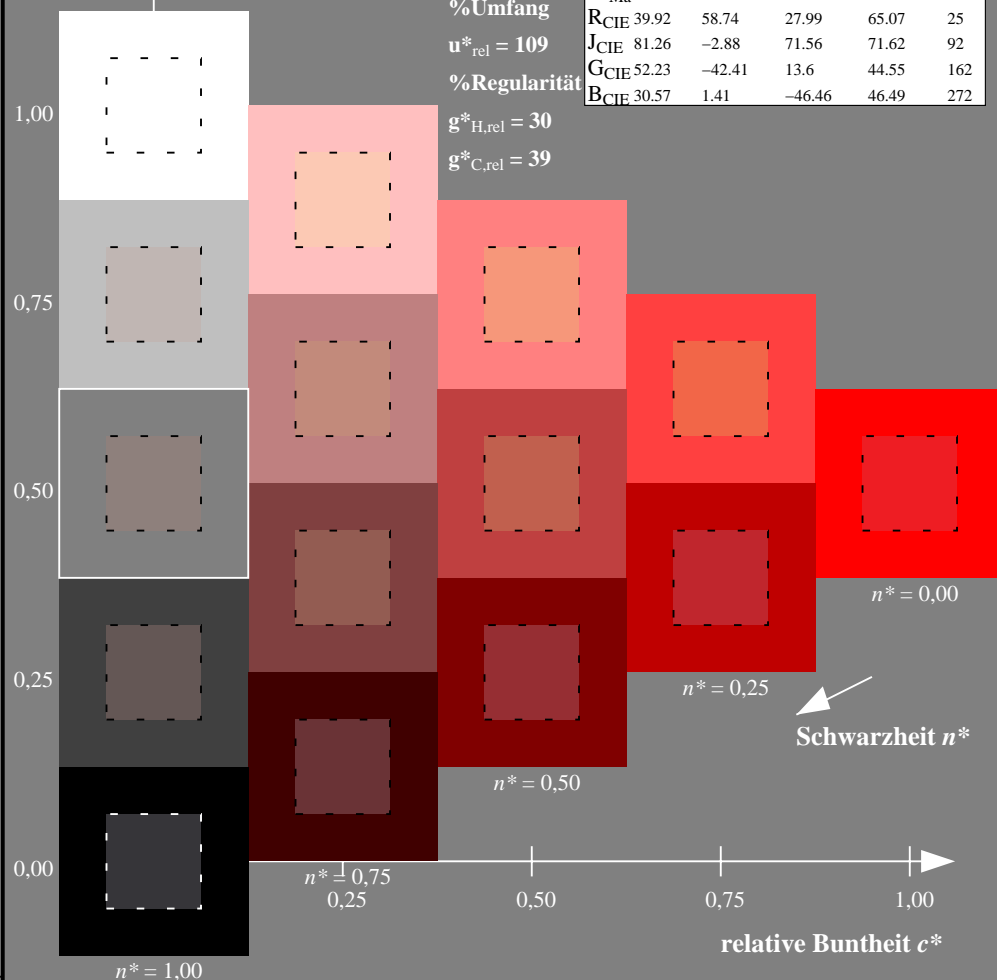
%Umfang

$u^*_{rel} = 109$

%Regularität

$g^*_{H,rel} = 30$

$g^*_{C,rel} = 39$



Dg640-7N, 5-stufige Reihen für konstanten CIELAB Buntton 36/360 = 0.1 (links)

Dg64: Prüfvorlage 1 nach DIN 33872-4, Buntton O, Seite 1/11  
Gleichheit für zwei Farbdefinitionen, ORS18a

Ausgabe: Farbmimetrisches Offset-Reflektiv-System ORS18a

für Buntton  $h^* = lab^*h = 36/360 = 0.1$

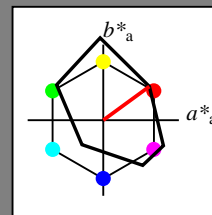
$lab^*tch$  und  $lab^*nch$

D65: Buntton O

LCH\*Ma: 35 76 36

olv\*Ma: 1.0 0.0 0.0

Dreiecks-Helligkeit  $t^*$



ORS18a; adaptierte CIELAB-Daten					
	$L^*=L^*_a$	$a^*_a$	$b^*_a$	$C^*_{ab,a}$	$h^*_{ab,a}$
O <sub>Ma</sub>	35.32	60.99	44.6	75.56	36
Y <sub>Ma</sub>	83.65	-4.11	108.86	108.94	92
L <sub>Ma</sub>	43.49	-61.66	46.73	77.37	143
C <sub>Ma</sub>	52.18	-28.14	-32.36	42.9	229
V <sub>Ma</sub>	13.71	52.15	-59.7	79.28	311
M <sub>Ma</sub>	37.69	79.56	-33.73	86.42	337
N <sub>Ma</sub>	8.99	0.0	0.0	0.0	0
W <sub>Ma</sub>	92.16	0.0	0.0	0.0	0
RCIE	39.92	58.74	27.99	65.07	25
J <sub>CIE</sub>	81.26	-2.88	71.56	71.62	92
G <sub>CIE</sub>	52.23	-42.41	13.6	44.55	162
BCIE	30.57	1.41	-46.46	46.49	272

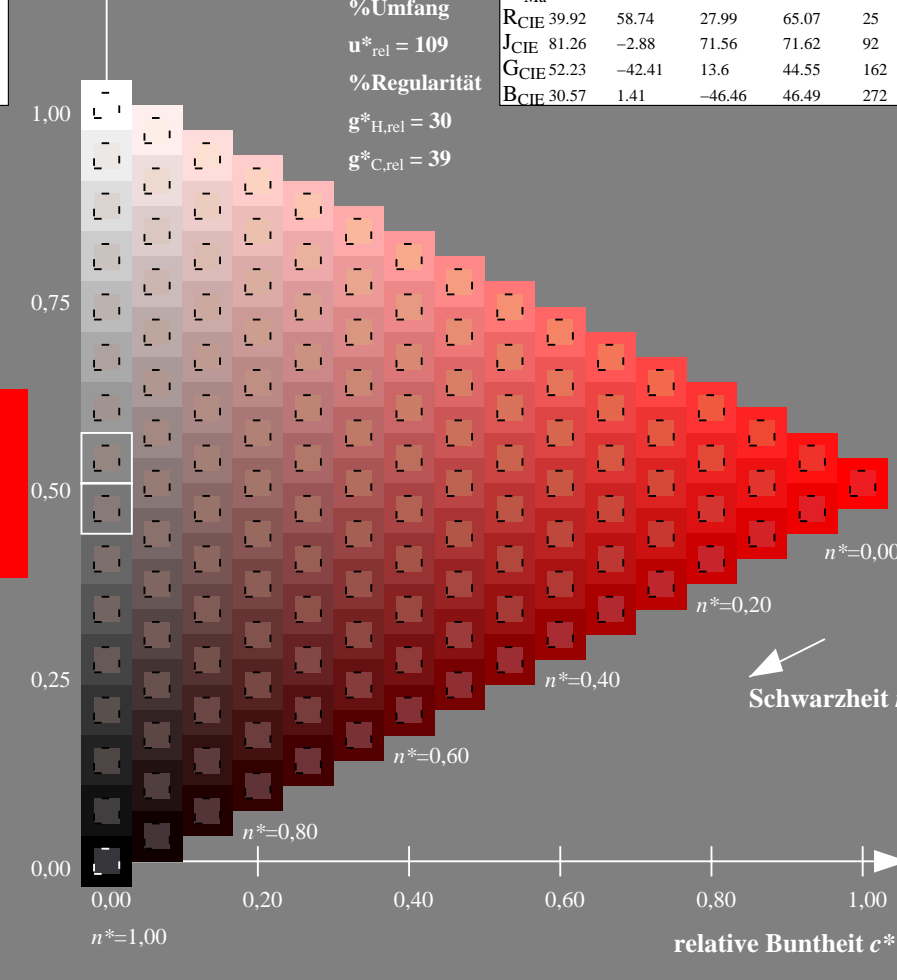
%Umfang

$u^*_{rel} = 109$

%Regularität

$g^*_{H,rel} = 30$

$g^*_{C,rel} = 39$



16-stufige Reihen für konstanten CIELAB Buntton 36/360 = 0.1 (rechts)

Eingabe:  $cmy0$ -Infeld,  $rgb$ -Umfeld  
Ausgabe: keine Eingabeänderung

Eingabe: Farbmimetrisches Offset-Reflektiv-System ORS18a

für Buntton  $h^* = lab^*h = 92/360 = 0.256$

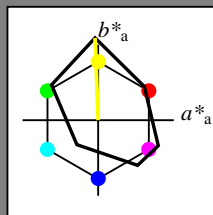
$lab^*tch$  und  $lab^*nch$

D65: Buntton Y

LCH\*Ma: 84 109 92

olv\*Ma: 1.0 1.0 0.0

Dreiecks-Helligkeit  $t^*$



ORS18a; adaptierte CIELAB-Daten					
	$L^*=L^*_a$	$a^*_a$	$b^*_a$	$C^*_{ab,a}$	$h^*_{ab,a}$
O <sub>Ma</sub>	35.32	60.99	44.6	75.56	36
Y <sub>Ma</sub>	83.65	-4.11	108.86	108.94	92
L <sub>Ma</sub>	43.49	-61.66	46.73	77.37	143
C <sub>Ma</sub>	52.18	-28.14	-32.36	42.9	229
V <sub>Ma</sub>	13.71	52.15	-59.7	79.28	311
M <sub>Ma</sub>	37.69	79.56	-33.73	86.42	337
N <sub>Ma</sub>	8.99	0.0	0.0	0.0	0
W <sub>Ma</sub>	92.16	0.0	0.0	0.0	0
RCIE	39.92	58.74	27.99	65.07	25
JCIE	81.26	-2.88	71.56	71.62	92
GCIE	52.23	-42.41	13.6	44.55	162
BCIE	30.57	1.41	-46.46	46.49	272

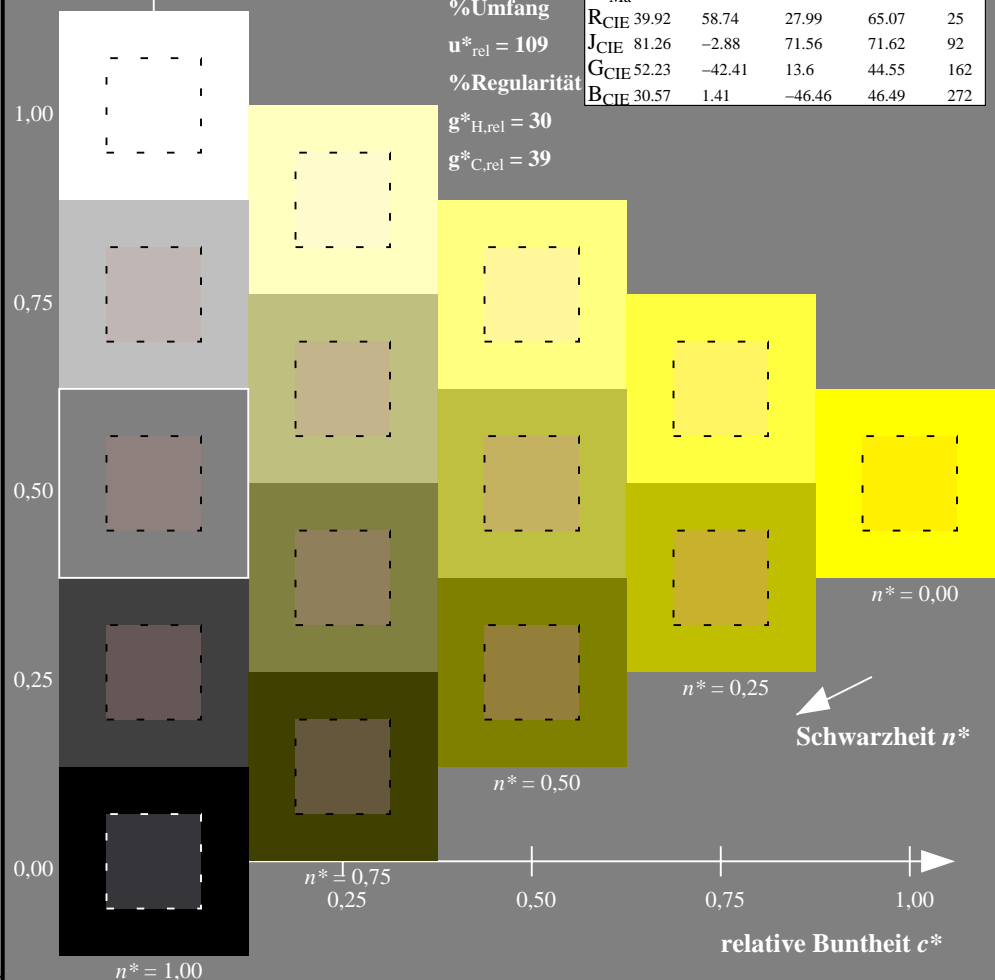
%Umfang

$u^*_{rel} = 109$

%Regularität

$g^*_{H,rel} = 30$

$g^*_{C,rel} = 39$



Dg640-7N, 5-stufige Reihen für konstanten CIELAB Buntton 92/360 = 0.256 (links)

Dg64: Prüfvorlage 1 nach DIN 33872-4, Buntton Y, Seite 2/11  
Gleichheit für zwei Farbdefinitionen, ORS18a

Ausgabe: Farbmimetrisches Offset-Reflektiv-System ORS18a

für Buntton  $h^* = lab^*h = 92/360 = 0.256$

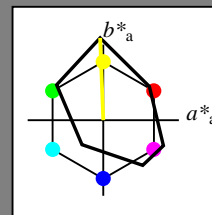
$lab^*tch$  und  $lab^*nch$

D65: Buntton Y

LCH\*Ma: 84 109 92

olv\*Ma: 1.0 1.0 0.0

Dreiecks-Helligkeit  $t^*$



ORS18a; adaptierte CIELAB-Daten					
	$L^*=L^*_a$	$a^*_a$	$b^*_a$	$C^*_{ab,a}$	$h^*_{ab,a}$
O <sub>Ma</sub>	35.32	60.99	44.6	75.56	36
Y <sub>Ma</sub>	83.65	-4.11	108.86	108.94	92
L <sub>Ma</sub>	43.49	-61.66	46.73	77.37	143
C <sub>Ma</sub>	52.18	-28.14	-32.36	42.9	229
V <sub>Ma</sub>	13.71	52.15	-59.7	79.28	311
M <sub>Ma</sub>	37.69	79.56	-33.73	86.42	337
N <sub>Ma</sub>	8.99	0.0	0.0	0.0	0
W <sub>Ma</sub>	92.16	0.0	0.0	0.0	0
RCIE	39.92	58.74	27.99	65.07	25
JCIE	81.26	-2.88	71.56	71.62	92
GCIE	52.23	-42.41	13.6	44.55	162
BCIE	30.57	1.41	-46.46	46.49	272

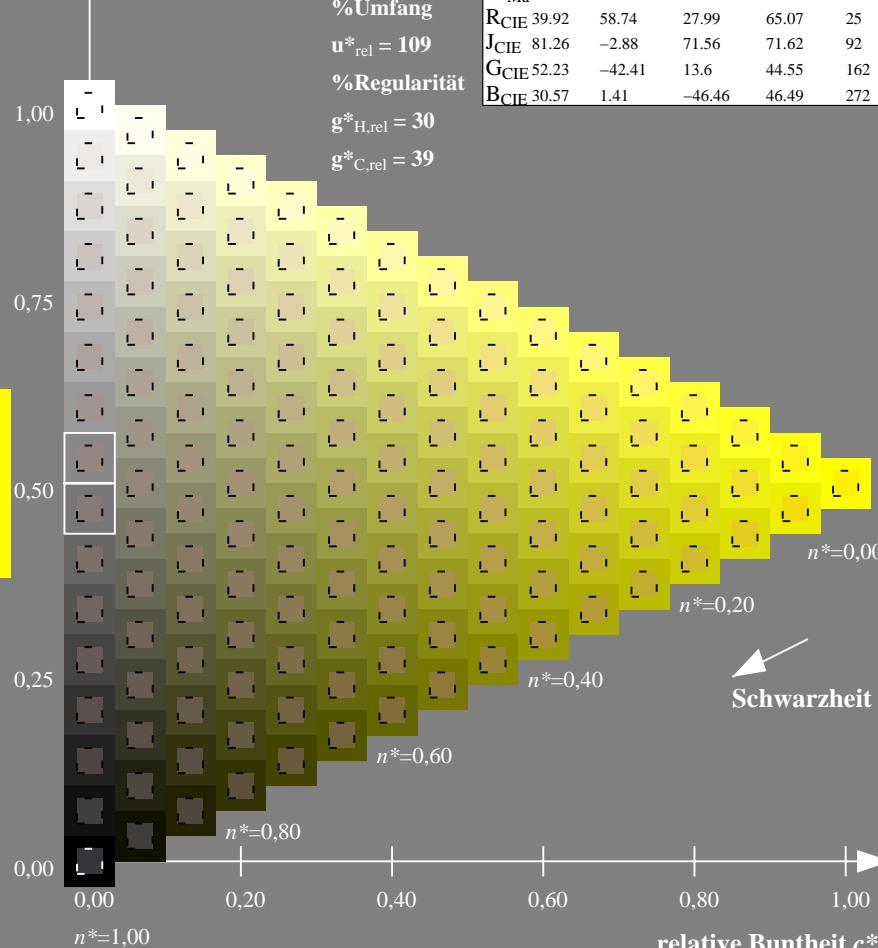
%Umfang

$u^*_{rel} = 109$

%Regularität

$g^*_{H,rel} = 30$

$g^*_{C,rel} = 39$



16-stufige Reihen für konstanten CIELAB Buntton 92/360 = 0.256 (rechts)

Eingabe:  $cmy0$ -Infeld,  $rgb$ -Umfeld  
Ausgabe: keine Eingabeänderung

Eingabe: Farbmimetrisches Offset-Reflektiv-System ORS18a

für Buntton  $h^* = lab^*h = 143/360 = 0.397$

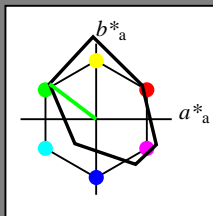
$lab^*tch$  und  $lab^*nch$

D65: Buntton L

LCH\*Ma: 43 77 143

olv\*Ma: 0.0 1.0 0.0

Dreiecks-Helligkeit  $t^*$



ORS18a; adaptierte CIELAB-Daten

	$L^*=L^*_a$	$a^*_a$	$b^*_a$	$C^*_{ab,a}$	$h^*_{ab,a}$
O <sub>Ma</sub>	35.32	60.99	44.6	75.56	36
Y <sub>Ma</sub>	83.65	-4.11	108.86	108.94	92
L <sub>Ma</sub>	43.49	-61.66	46.73	77.37	143
C <sub>Ma</sub>	52.18	-28.14	-32.36	42.9	229
V <sub>Ma</sub>	13.71	52.15	-59.7	79.28	311
M <sub>Ma</sub>	37.69	79.56	-33.73	86.42	337
N <sub>Ma</sub>	8.99	0.0	0.0	0.0	0
W <sub>Ma</sub>	92.16	0.0	0.0	0.0	0
RCIE	39.92	58.74	27.99	65.07	25
JCIE	81.26	-2.88	71.56	71.62	92
GCIE	52.23	-42.41	13.6	44.55	162
BCIE	30.57	1.41	-46.46	46.49	272

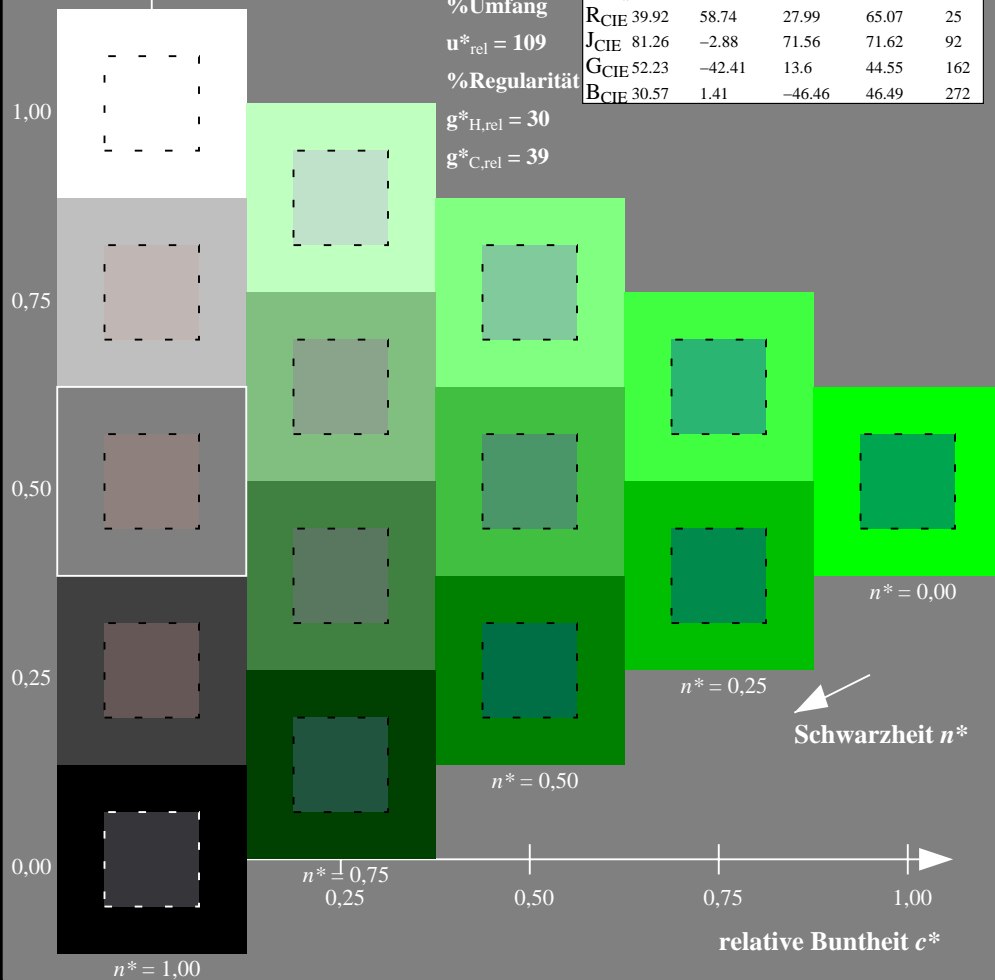
%Umfang

$u^*_{rel} = 109$

%Regularität

$g^*_{H,rel} = 30$

$g^*_{C,rel} = 39$



Dg640-7N, 5-stufige Reihen für konstanten CIELAB Buntton 143/360 = 0.397 (links)

Dg64: Prüfvorlage 1 nach DIN 33872-4, Buntton L, Seite 3/11  
Gleichheit für zwei Farbdefinitionen, ORS18a

Ausgabe: Farbmimetrisches Offset-Reflektiv-System ORS18a

für Buntton  $h^* = lab^*h = 143/360 = 0.397$

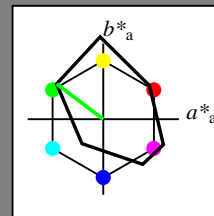
$lab^*tch$  und  $lab^*nch$

D65: Buntton L

LCH\*Ma: 43 77 143

olv\*Ma: 0.0 1.0 0.0

Dreiecks-Helligkeit  $t^*$



ORS18a; adaptierte CIELAB-Daten

	$L^*=L^*_a$	$a^*_a$	$b^*_a$	$C^*_{ab,a}$	$h^*_{ab,a}$
O <sub>Ma</sub>	35.32	60.99	44.6	75.56	36
Y <sub>Ma</sub>	83.65	-4.11	108.86	108.94	92
L <sub>Ma</sub>	43.49	-61.66	46.73	77.37	143
C <sub>Ma</sub>	52.18	-28.14	-32.36	42.9	229
V <sub>Ma</sub>	13.71	52.15	-59.7	79.28	311
M <sub>Ma</sub>	37.69	79.56	-33.73	86.42	337
N <sub>Ma</sub>	8.99	0.0	0.0	0.0	0
W <sub>Ma</sub>	92.16	0.0	0.0	0.0	0
RCIE	39.92	58.74	27.99	65.07	25
JCIE	81.26	-2.88	71.56	71.62	92
GCIE	52.23	-42.41	13.6	44.55	162
BCIE	30.57	1.41	-46.46	46.49	272

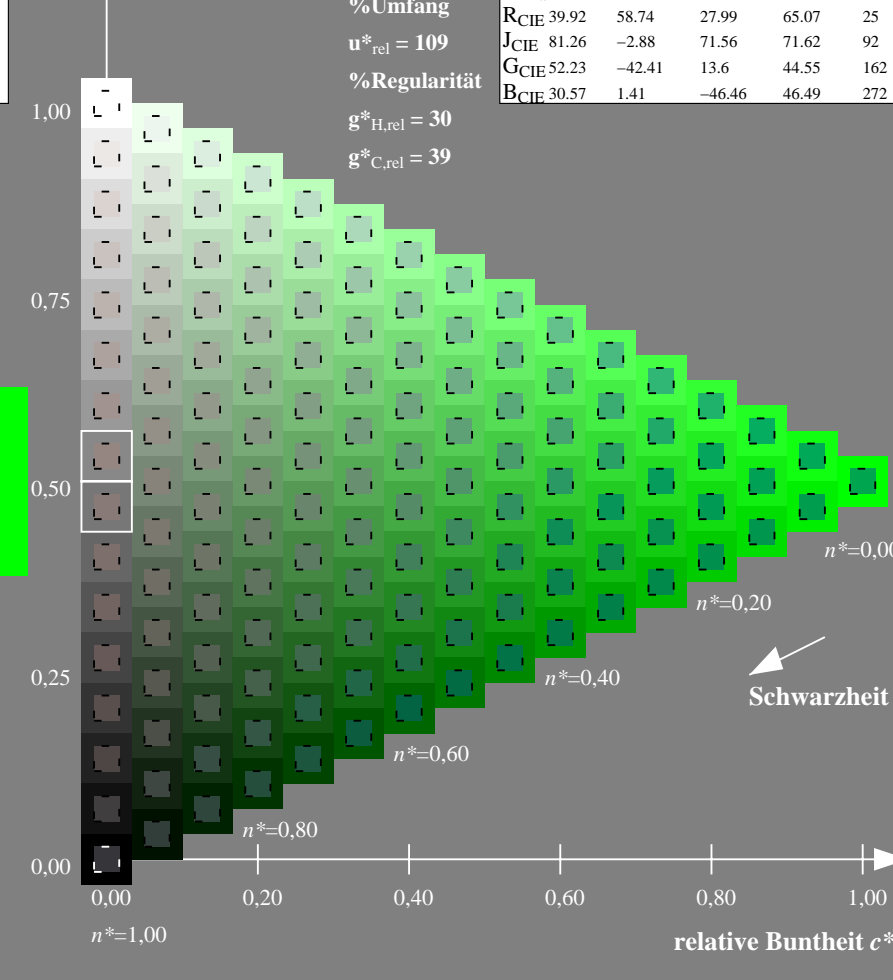
%Umfang

$u^*_{rel} = 109$

%Regularität

$g^*_{H,rel} = 30$

$g^*_{C,rel} = 39$



16-stufige Reihen für konstanten CIELAB Buntton 143/360 = 0.397 (rechts)

Eingabe:  $cmy0$ -Infeld,  $rgb$ -Umfeld  
Ausgabe: keine Eingabeänderung

Eingabe: Farbmimetrisches Offset-Reflektiv-System ORS18a

für Buntton  $h^* = lab^*h = 229/360 = 0.636$

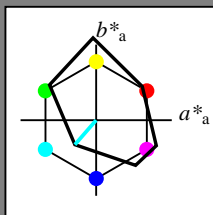
$lab^*tch$  und  $lab^*nch$

D65: Buntton C

LCH\*Ma: 52 43 229

olv\*Ma: 0.0 1.0 1.0

Dreiecks-Helligkeit  $t^*$



ORS18a; adaptierte CIELAB-Daten

	$L^*=L^*_a$	$a^*_a$	$b^*_a$	$C^*_{ab,a}$	$h^*_{ab,a}$
O <sub>Ma</sub>	35.32	60.99	44.6	75.56	36
Y <sub>Ma</sub>	83.65	-4.11	108.86	108.94	92
L <sub>Ma</sub>	43.49	-61.66	46.73	77.37	143
C <sub>Ma</sub>	52.18	-28.14	-32.36	42.9	229
V <sub>Ma</sub>	13.71	52.15	-59.7	79.28	311
M <sub>Ma</sub>	37.69	79.56	-33.73	86.42	337
N <sub>Ma</sub>	8.99	0.0	0.0	0.0	0
W <sub>Ma</sub>	92.16	0.0	0.0	0.0	0
RCIE	39.92	58.74	27.99	65.07	25
JCIE	81.26	-2.88	71.56	71.62	92
GCIE	52.23	-42.41	13.6	44.55	162
BCIE	30.57	1.41	-46.46	46.49	272

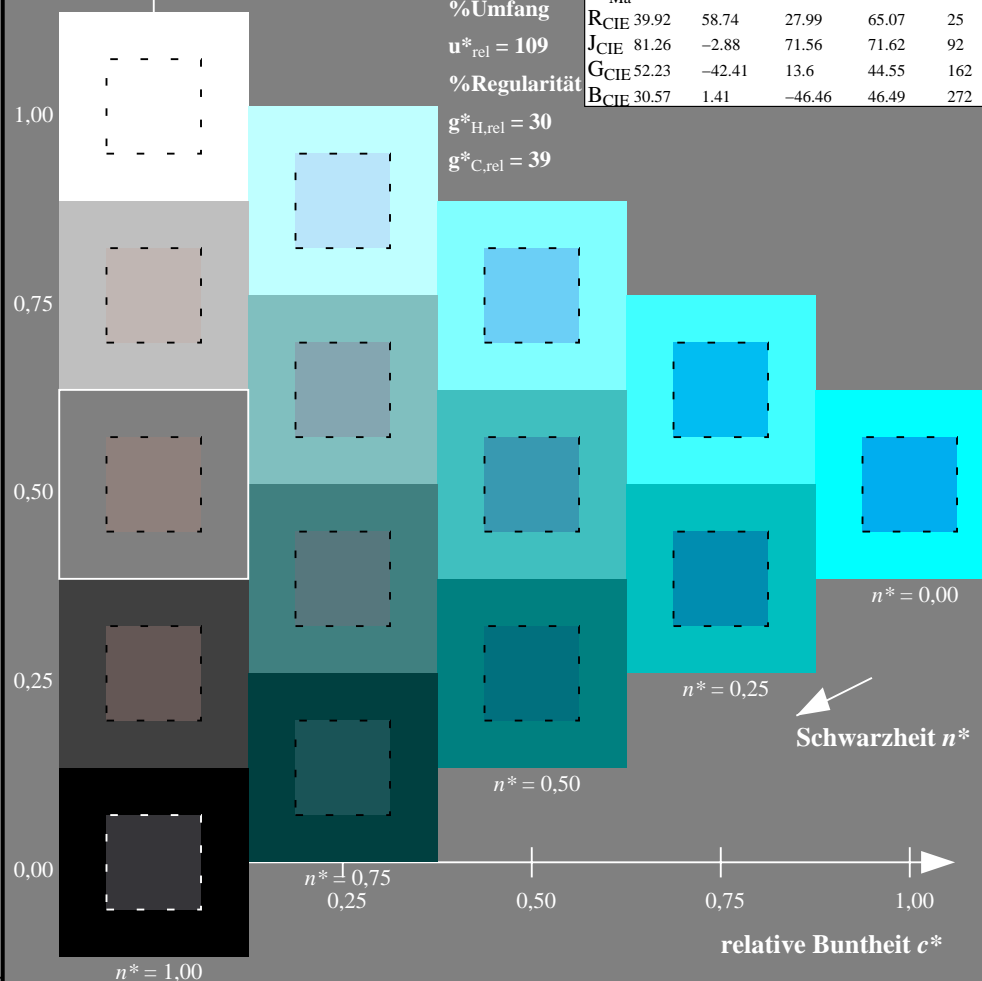
%Umfang

$u^*_{rel} = 109$

%Regularität

$g^*_{H,rel} = 30$

$g^*_{C,rel} = 39$



Dg640-7N, 5-stufige Reihen für konstanten CIELAB Buntton 229/360 = 0.636 (links)

Dg64: Prüfvorlage 1 nach DIN 33872-4, Buntton C, Seite 4/11  
Gleichheit für zwei Farbdefinitionen, ORS18a

Ausgabe: Farbmimetrisches Offset-Reflektiv-System ORS18a

für Buntton  $h^* = lab^*h = 229/360 = 0.636$

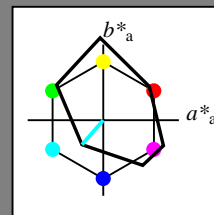
$lab^*tch$  und  $lab^*nch$

D65: Buntton C

LCH\*Ma: 52 43 229

olv\*Ma: 0.0 1.0 1.0

Dreiecks-Helligkeit  $t^*$



ORS18a; adaptierte CIELAB-Daten

	$L^*=L^*_a$	$a^*_a$	$b^*_a$	$C^*_{ab,a}$	$h^*_{ab,a}$
O <sub>Ma</sub>	35.32	60.99	44.6	75.56	36
Y <sub>Ma</sub>	83.65	-4.11	108.86	108.94	92
L <sub>Ma</sub>	43.49	-61.66	46.73	77.37	143
C <sub>Ma</sub>	52.18	-28.14	-32.36	42.9	229
V <sub>Ma</sub>	13.71	52.15	-59.7	79.28	311
M <sub>Ma</sub>	37.69	79.56	-33.73	86.42	337
N <sub>Ma</sub>	8.99	0.0	0.0	0.0	0
W <sub>Ma</sub>	92.16	0.0	0.0	0.0	0
RCIE	39.92	58.74	27.99	65.07	25
JCIE	81.26	-2.88	71.56	71.62	92
GCIE	52.23	-42.41	13.6	44.55	162
BCIE	30.57	1.41	-46.46	46.49	272

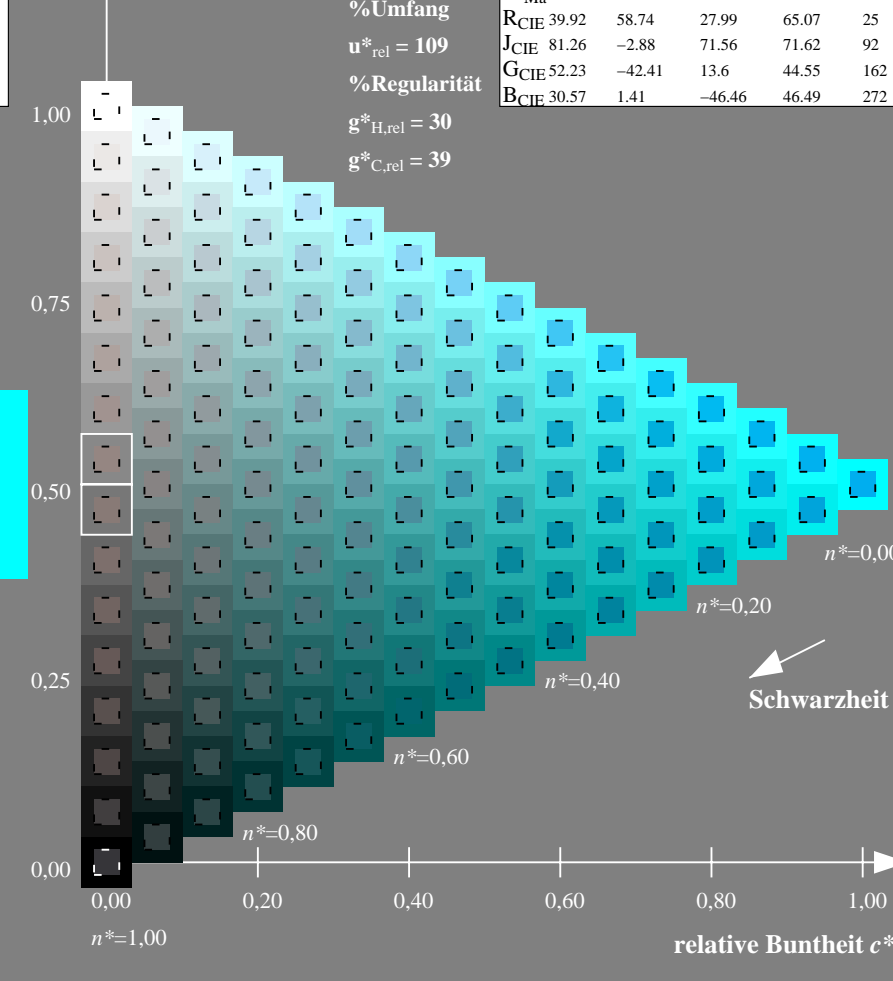
%Umfang

$u^*_{rel} = 109$

%Regularität

$g^*_{H,rel} = 30$

$g^*_{C,rel} = 39$



16-stufige Reihen für konstanten CIELAB Buntton 229/360 = 0.636 (rechts)

Eingabe:  $cmy0$ -Infeld,  $rgb$ -Umfeld  
Ausgabe: keine Eingabeänderung

Eingabe: Farbmétrisches Offset-Reflektiv-System ORS18a

für Buntton  $h^* = lab^*h = 311/360 = 0.864$

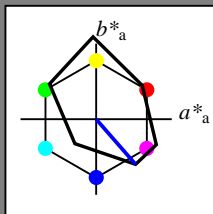
$lab^*tch$  und  $lab^*nch$

D65: Buntton V

LCH\*Ma: 14 79 311

olv\*Ma: 0.0 0.0 1.0

Dreiecks-Helligkeit  $t^*$



ORS18a; adaptierte CIELAB-Daten

	$L^*=L^*_a$	$a^*_a$	$b^*_a$	$C^*_{ab,a}$	$h^*_{ab,a}$
O <sub>Ma</sub>	35.32	60.99	44.6	75.56	36
Y <sub>Ma</sub>	83.65	-4.11	108.86	108.94	92
L <sub>Ma</sub>	43.49	-61.66	46.73	77.37	143
C <sub>Ma</sub>	52.18	-28.14	-32.36	42.9	229
V <sub>Ma</sub>	13.71	52.15	-59.7	79.28	311
M <sub>Ma</sub>	37.69	79.56	-33.73	86.42	337
N <sub>Ma</sub>	8.99	0.0	0.0	0.0	0
W <sub>Ma</sub>	92.16	0.0	0.0	0.0	0
RCIE	39.92	58.74	27.99	65.07	25
JCIE	81.26	-2.88	71.56	71.62	92
GCIE	52.23	-42.41	13.6	44.55	162
BCIE	30.57	1.41	-46.46	46.49	272

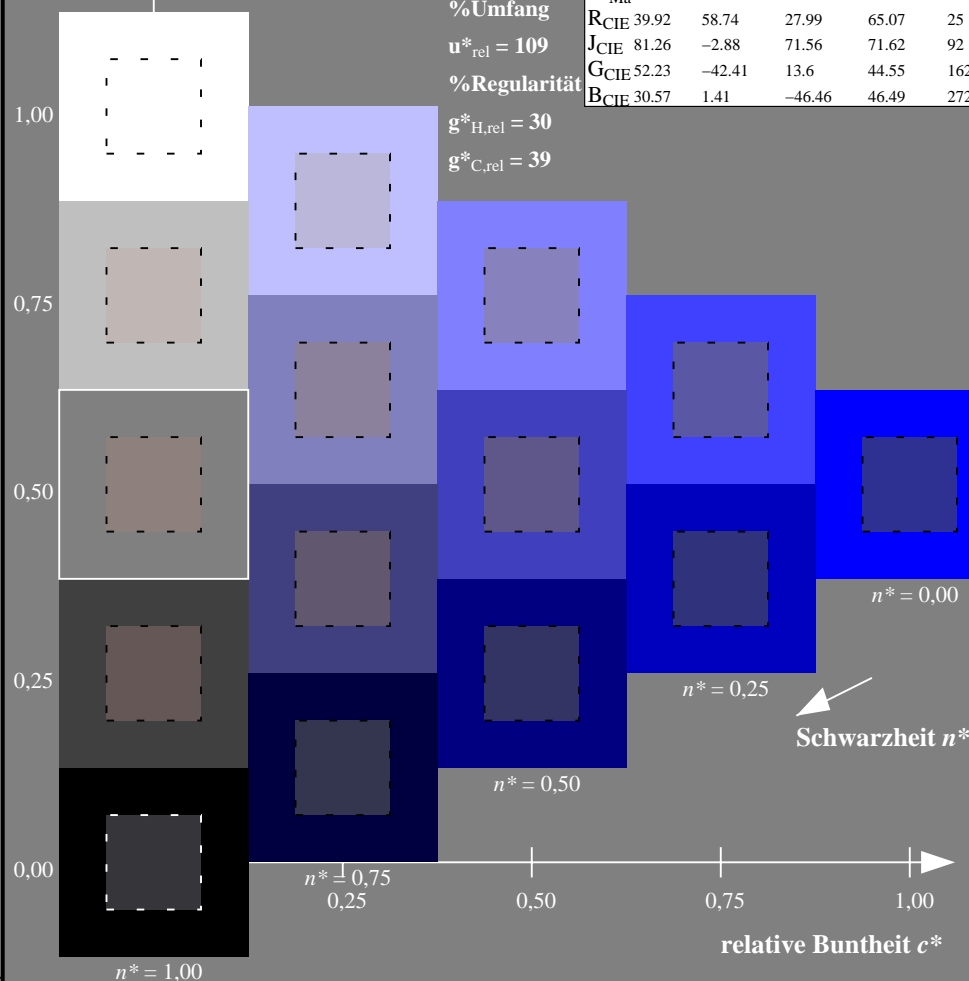
%Umfang

$u^*_{rel} = 109$

%Regularität

$g^*_{H,rel} = 30$

$g^*_{C,rel} = 39$



Dg640-7N, 5-stufige Reihen für konstanten CIELAB Buntton 311/360 = 0.864 (links)

Dg64: Prüfvorlage 1 nach DIN 33872-4, Buntton V, Seite 5/11  
Gleichheit für zwei Farbdefinitionen, ORS18a

Ausgabe: Farbmétrisches Offset-Reflektiv-System ORS18a

für Buntton  $h^* = lab^*h = 311/360 = 0.864$

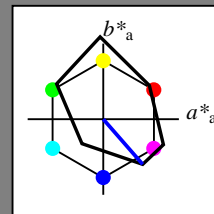
$lab^*tch$  und  $lab^*nch$

D65: Buntton V

LCH\*Ma: 14 79 311

olv\*Ma: 0.0 0.0 1.0

Dreiecks-Helligkeit  $t^*$



ORS18a; adaptierte CIELAB-Daten

	$L^*=L^*_a$	$a^*_a$	$b^*_a$	$C^*_{ab,a}$	$h^*_{ab,a}$
O <sub>Ma</sub>	35.32	60.99	44.6	75.56	36
Y <sub>Ma</sub>	83.65	-4.11	108.86	108.94	92
L <sub>Ma</sub>	43.49	-61.66	46.73	77.37	143
C <sub>Ma</sub>	52.18	-28.14	-32.36	42.9	229
V <sub>Ma</sub>	13.71	52.15	-59.7	79.28	311
M <sub>Ma</sub>	37.69	79.56	-33.73	86.42	337
N <sub>Ma</sub>	8.99	0.0	0.0	0.0	0
W <sub>Ma</sub>	92.16	0.0	0.0	0.0	0
RCIE	39.92	58.74	27.99	65.07	25
JCIE	81.26	-2.88	71.56	71.62	92
GCIE	52.23	-42.41	13.6	44.55	162
BCIE	30.57	1.41	-46.46	46.49	272

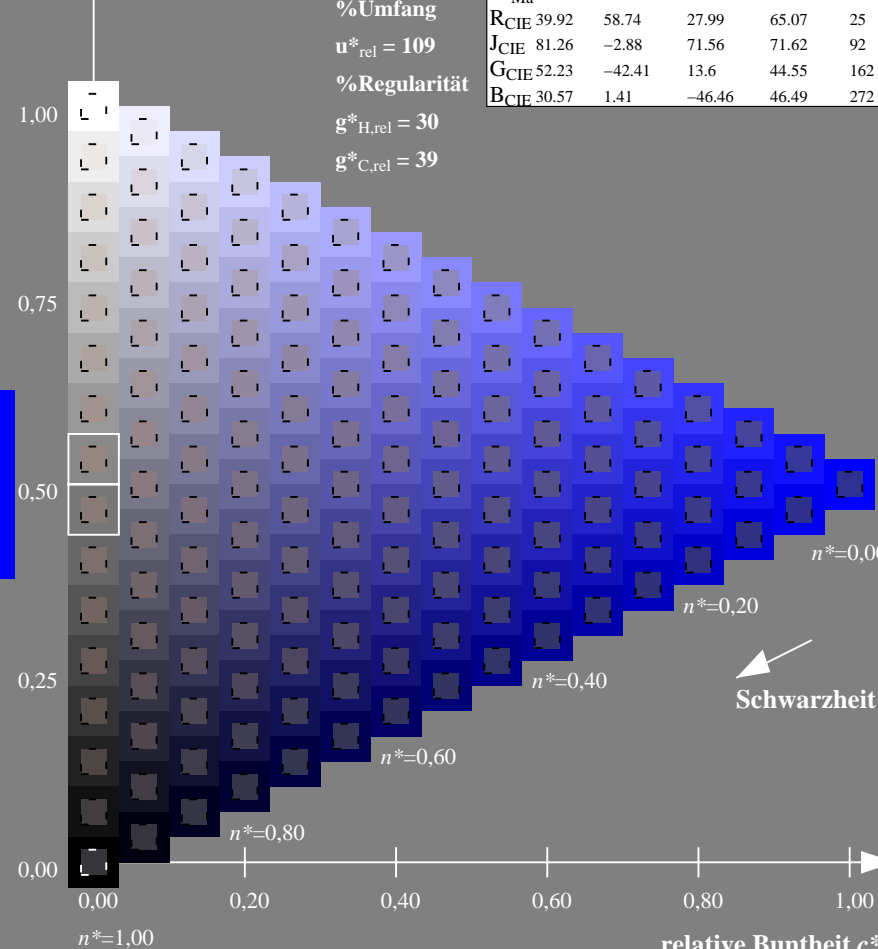
%Umfang

$u^*_{rel} = 109$

%Regularität

$g^*_{H,rel} = 30$

$g^*_{C,rel} = 39$



16-stufige Reihen für konstanten CIELAB Buntton 311/360 = 0.864 (rechts)

Eingabe:  $cmy0$ -Infeld,  $rgb$ -Umfeld  
Ausgabe: keine Eingabeänderung

Eingabe: Farbmimetrisches Offset-Reflektiv-System ORS18a

für Buntton  $h^* = lab^*h = 337/360 = 0.936$

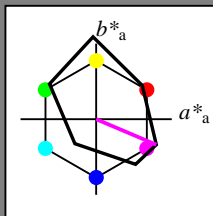
$lab^*tch$  und  $lab^*nch$

D65: Buntton M

LCH\*Ma: 38 86 337

olv\*Ma: 1.0 0.0 1.0

Dreiecks-Helligkeit  $t^*$



ORS18a; adaptierte CIELAB-Daten

	$L^*=L^*_a$	$a^*_a$	$b^*_a$	$C^*_{ab,a}$	$h^*_{ab,a}$
O <sub>Ma</sub>	35.32	60.99	44.6	75.56	36
Y <sub>Ma</sub>	83.65	-4.11	108.86	108.94	92
L <sub>Ma</sub>	43.49	-61.66	46.73	77.37	143
C <sub>Ma</sub>	52.18	-28.14	-32.36	42.9	229
V <sub>Ma</sub>	13.71	52.15	-59.7	79.28	311
M <sub>Ma</sub>	37.69	79.56	-33.73	86.42	337
N <sub>Ma</sub>	8.99	0.0	0.0	0.0	0
W <sub>Ma</sub>	92.16	0.0	0.0	0.0	0
RCIE	39.92	58.74	27.99	65.07	25
J <sub>CIE</sub>	81.26	-2.88	71.56	71.62	92
G <sub>CIE</sub>	52.23	-42.41	13.6	44.55	162
B <sub>CIE</sub>	30.57	1.41	-46.46	46.49	272

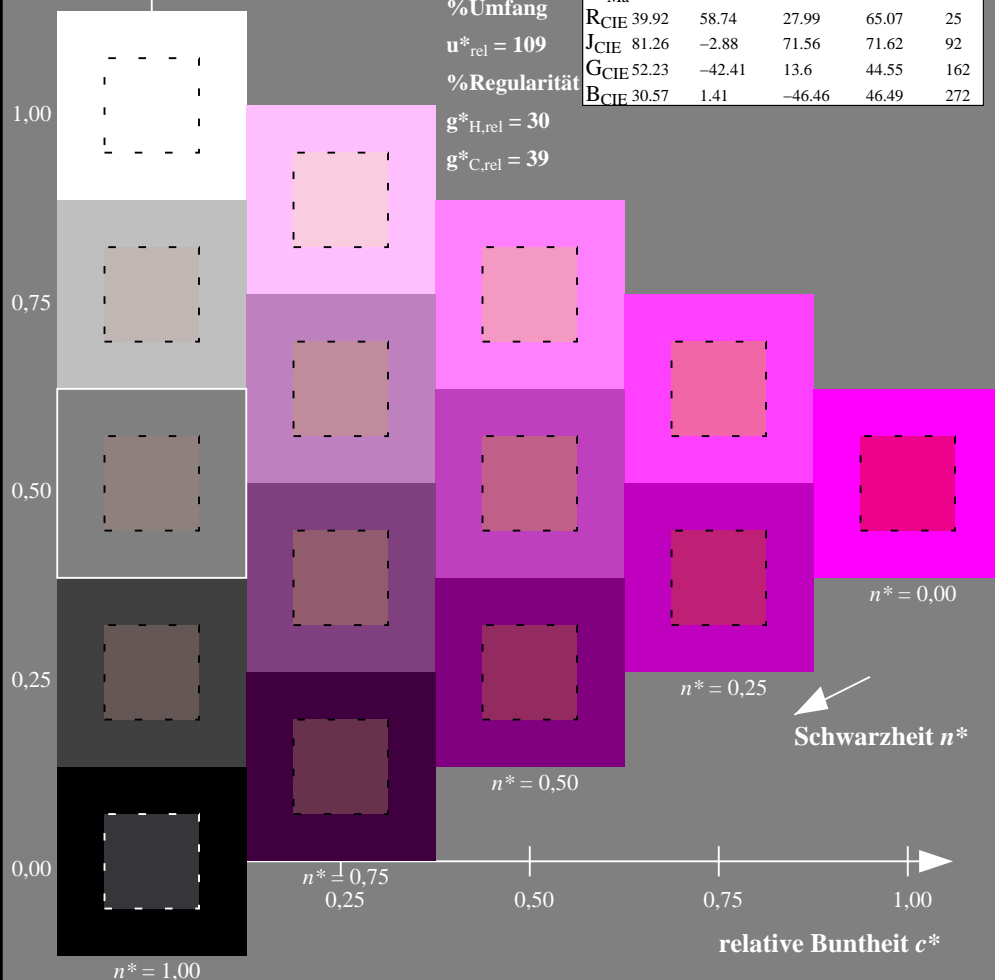
%Umfang

$u^*_{rel} = 109$

%Regularität

$g^*_{H,rel} = 30$

$g^*_{C,rel} = 39$



Dg640-7N, 5-stufige Reihen für konstanten CIELAB Buntton 337/360 = 0.936 (links)

Dg64: Prüfvorlage 1 nach DIN 33872-4, Buntton M, Seite 6/11 Eingabe:  $cmy0$ -Infeld,  $rgb$ -Umfeld  
Gleichheit für zwei Farbdefinitionen, ORS18a

Ausgabe: Farbmimetrisches Offset-Reflektiv-System ORS18a

für Buntton  $h^* = lab^*h = 337/360 = 0.936$

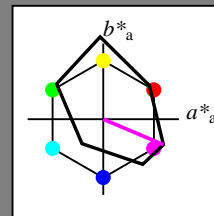
$lab^*tch$  und  $lab^*nch$

D65: Buntton M

LCH\*Ma: 38 86 337

olv\*Ma: 1.0 0.0 1.0

Dreiecks-Helligkeit  $t^*$



ORS18a; adaptierte CIELAB-Daten

	$L^*=L^*_a$	$a^*_a$	$b^*_a$	$C^*_{ab,a}$	$h^*_{ab,a}$
O <sub>Ma</sub>	35.32	60.99	44.6	75.56	36
Y <sub>Ma</sub>	83.65	-4.11	108.86	108.94	92
L <sub>Ma</sub>	43.49	-61.66	46.73	77.37	143
C <sub>Ma</sub>	52.18	-28.14	-32.36	42.9	229
V <sub>Ma</sub>	13.71	52.15	-59.7	79.28	311
M <sub>Ma</sub>	37.69	79.56	-33.73	86.42	337
N <sub>Ma</sub>	8.99	0.0	0.0	0.0	0
W <sub>Ma</sub>	92.16	0.0	0.0	0.0	0
RCIE	39.92	58.74	27.99	65.07	25
J <sub>CIE</sub>	81.26	-2.88	71.56	71.62	92
G <sub>CIE</sub>	52.23	-42.41	13.6	44.55	162
B <sub>CIE</sub>	30.57	1.41	-46.46	46.49	272

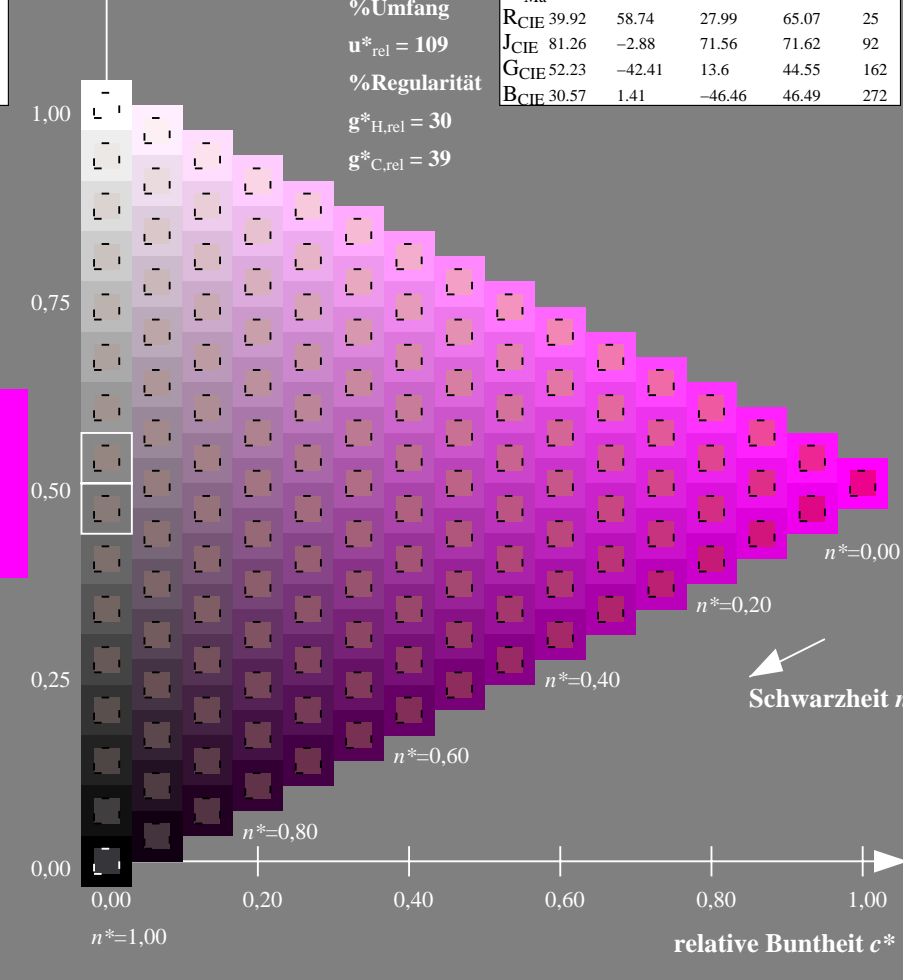
%Umfang

$u^*_{rel} = 109$

%Regularität

$g^*_{H,rel} = 30$

$g^*_{C,rel} = 39$



16-stufige Reihen für konstanten CIELAB Buntton 337/360 = 0.936 (rechts)

Ausgabe: keine Eingabeänderung

Eingabe: Farbmimetrisches Offset-Reflektiv-System ORS18a

für Buntton  $h^* = lab^*h = 25/360 = 0.071$

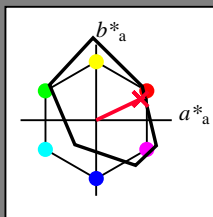
$lab^*tch$  und  $lab^*nch$

D65: Buntton R

LCH\*Ma: 36 71 25

olv\*Ma: 1.0 0.0 0.18

Dreiecks-Helligkeit  $t^*$



%Umfang

$u^*_{rel} = 109$

%Regularität

$g^*_{H,rel} = 30$

$g^*_{C,rel} = 39$

ORS18a; adaptierte CIELAB-Daten

	$L^*=L^*_a$	$a^*_a$	$b^*_a$	$C^*_{ab,a}$	$h^*_{ab,a}$
O <sub>Ma</sub>	35.32	60.99	44.6	75.56	36
Y <sub>Ma</sub>	83.65	-4.11	108.86	108.94	92
L <sub>Ma</sub>	43.49	-61.66	46.73	77.37	143
C <sub>Ma</sub>	52.18	-28.14	-32.36	42.9	229
V <sub>Ma</sub>	13.71	52.15	-59.7	79.28	311
M <sub>Ma</sub>	37.69	79.56	-33.73	86.42	337
N <sub>Ma</sub>	8.99	0.0	0.0	0.0	0
W <sub>Ma</sub>	92.16	0.0	0.0	0.0	0
RCIE	39.92	58.74	27.99	65.07	25
JCIE	81.26	-2.88	71.56	71.62	92
GCIE	52.23	-42.41	13.6	44.55	162
BCIE	30.57	1.41	-46.46	46.49	272

Ausgabe: Farbmimetrisches Offset-Reflektiv-System ORS18a

für Buntton  $h^* = lab^*h = 25/360 = 0.071$

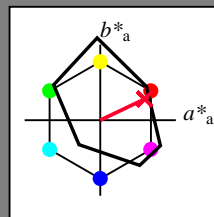
$lab^*tch$  und  $lab^*nch$

D65: Buntton R

LCH\*Ma: 36 71 25

olv\*Ma: 1.0 0.0 0.18

Dreiecks-Helligkeit  $t^*$



%Umfang

$u^*_{rel} = 109$

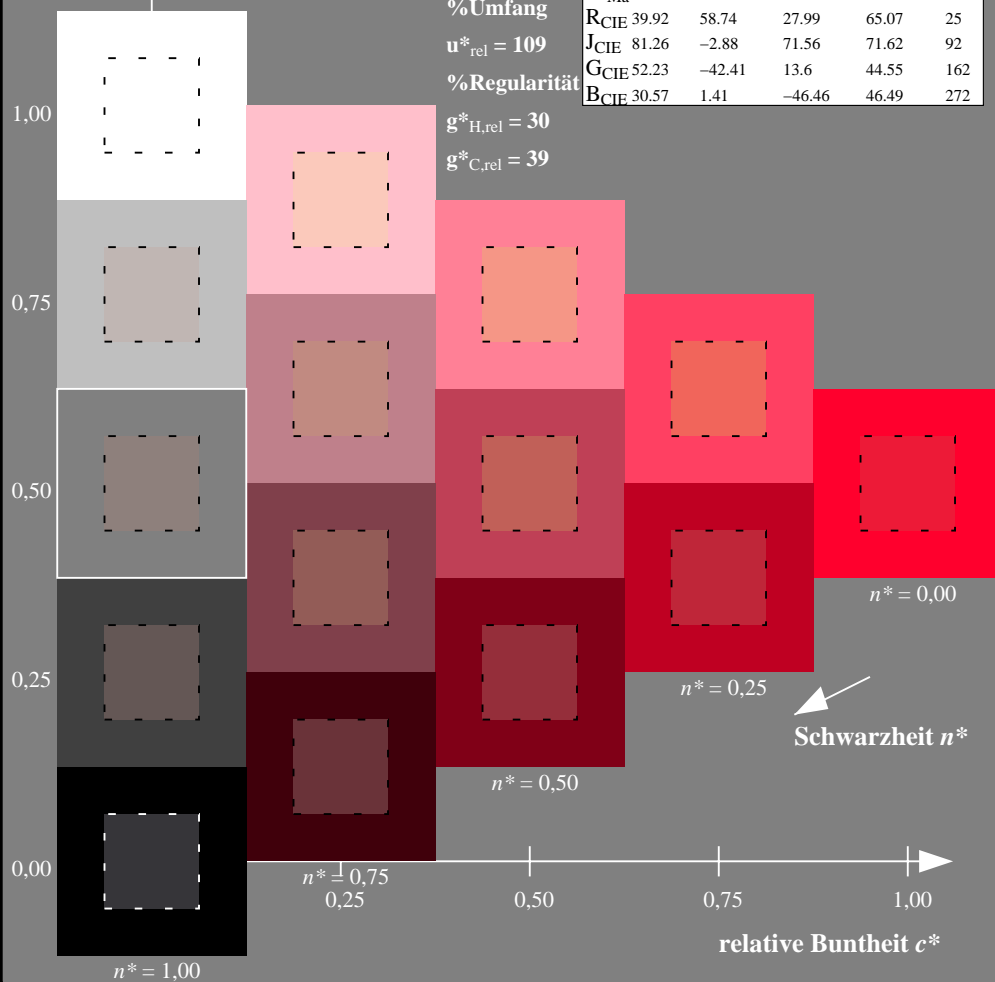
%Regularität

$g^*_{H,rel} = 30$

$g^*_{C,rel} = 39$

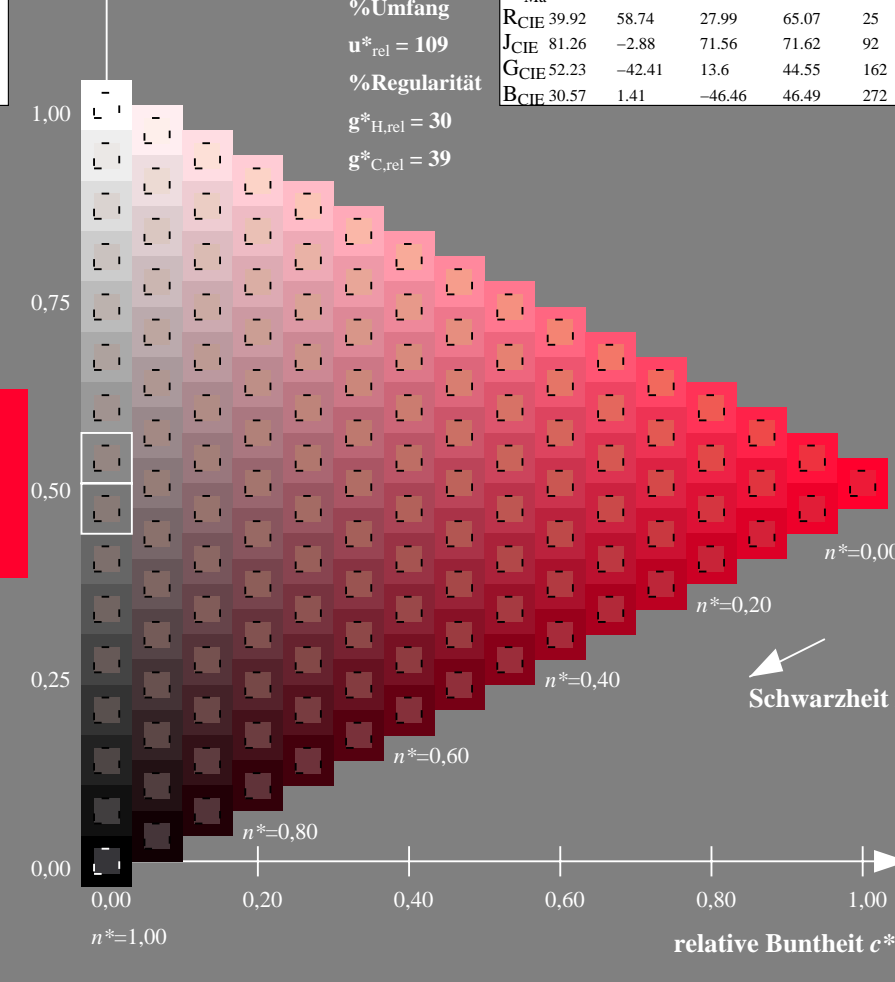
ORS18a; adaptierte CIELAB-Daten

	$L^*=L^*_a$	$a^*_a$	$b^*_a$	$C^*_{ab,a}$	$h^*_{ab,a}$
O <sub>Ma</sub>	35.32	60.99	44.6	75.56	36
Y <sub>Ma</sub>	83.65	-4.11	108.86	108.94	92
L <sub>Ma</sub>	43.49	-61.66	46.73	77.37	143
C <sub>Ma</sub>	52.18	-28.14	-32.36	42.9	229
V <sub>Ma</sub>	13.71	52.15	-59.7	79.28	311
M <sub>Ma</sub>	37.69	79.56	-33.73	86.42	337
N <sub>Ma</sub>	8.99	0.0	0.0	0.0	0
W <sub>Ma</sub>	92.16	0.0	0.0	0.0	0
RCIE	39.92	58.74	27.99	65.07	25
JCIE	81.26	-2.88	71.56	71.62	92
GCIE	52.23	-42.41	13.6	44.55	162
BCIE	30.57	1.41	-46.46	46.49	272



Dg640-7N, 5-stufige Reihen für konstanten CIELAB Buntton 25/360 = 0.071 (links)

Dg64: Prüfvorlage 1 nach DIN 33872-4, Buntton R, Seite 7/11  
Gleichheit für zwei Farbdefinitionen, ORS18a



16-stufige Reihen für konstanten CIELAB Buntton 25/360 = 0.071 (rechts)

Eingabe:  $cmy0$ -Infeld,  $rgb$ -Umfeld  
Ausgabe: keine Eingabeänderung



Eingabe: Farbmimetrisches Offset-Reflektiv-System ORS18a

für Buntton  $h^* = lab^*h = 92/360 = 0.256$

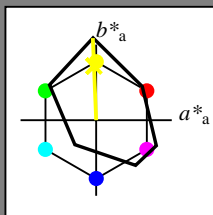
$lab^*tch$  und  $lab^*nch$

D65: Buntton J

LCH\*Ma: 83 109 92

olv\*Ma: 1.0 1.0 0.0

Dreiecks-Helligkeit  $t^*$



ORS18a; adaptierte CIELAB-Daten					
	$L^*=L^*_a$	$a^*_a$	$b^*_a$	$C^*_{ab,a}$	$h^*_{ab,a}$
O <sub>Ma</sub>	35.32	60.99	44.6	75.56	36
Y <sub>Ma</sub>	83.65	-4.11	108.86	108.94	92
L <sub>Ma</sub>	43.49	-61.66	46.73	77.37	143
C <sub>Ma</sub>	52.18	-28.14	-32.36	42.9	229
V <sub>Ma</sub>	13.71	52.15	-59.7	79.28	311
M <sub>Ma</sub>	37.69	79.56	-33.73	86.42	337
N <sub>Ma</sub>	8.99	0.0	0.0	0.0	0
W <sub>Ma</sub>	92.16	0.0	0.0	0.0	0
RCIE	39.92	58.74	27.99	65.07	25
J <sub>CIE</sub>	81.26	-2.88	71.56	71.62	92
G <sub>CIE</sub>	52.23	-42.41	13.6	44.55	162
BCIE	30.57	1.41	-46.46	46.49	272

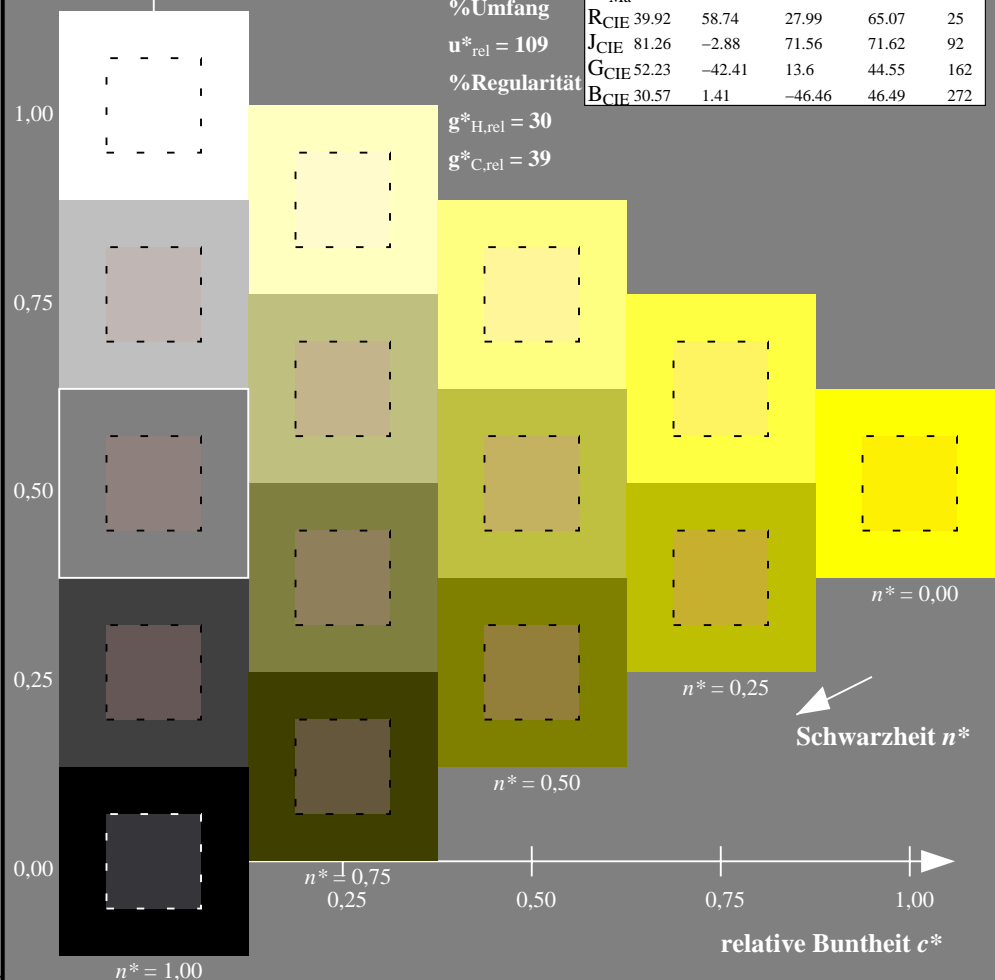
%Umfang

$u^*_{rel} = 109$

%Regularität

$g^*_{H,rel} = 30$

$g^*_{C,rel} = 39$



Dg640-7N, 5-stufige Reihen für konstanten CIELAB Buntton 92/360 = 0.256 (links)

Dg64: Prüfvorlage 1 nach DIN 33872-4, Buntton J, Seite 8/11  
Gleichheit für zwei Farbdefinitionen, ORS18a

Ausgabe: Farbmimetrisches Offset-Reflektiv-System ORS18a

für Buntton  $h^* = lab^*h = 92/360 = 0.256$

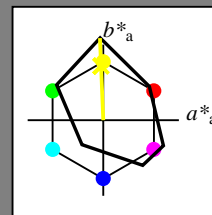
$lab^*tch$  und  $lab^*nch$

D65: Buntton J

LCH\*Ma: 83 109 92

olv\*Ma: 1.0 1.0 0.0

Dreiecks-Helligkeit  $t^*$



ORS18a; adaptierte CIELAB-Daten					
	$L^*=L^*_a$	$a^*_a$	$b^*_a$	$C^*_{ab,a}$	$h^*_{ab,a}$
O <sub>Ma</sub>	35.32	60.99	44.6	75.56	36
Y <sub>Ma</sub>	83.65	-4.11	108.86	108.94	92
L <sub>Ma</sub>	43.49	-61.66	46.73	77.37	143
C <sub>Ma</sub>	52.18	-28.14	-32.36	42.9	229
V <sub>Ma</sub>	13.71	52.15	-59.7	79.28	311
M <sub>Ma</sub>	37.69	79.56	-33.73	86.42	337
N <sub>Ma</sub>	8.99	0.0	0.0	0.0	0
W <sub>Ma</sub>	92.16	0.0	0.0	0.0	0
RCIE	39.92	58.74	27.99	65.07	25
J <sub>CIE</sub>	81.26	-2.88	71.56	71.62	92
G <sub>CIE</sub>	52.23	-42.41	13.6	44.55	162
BCIE	30.57	1.41	-46.46	46.49	272

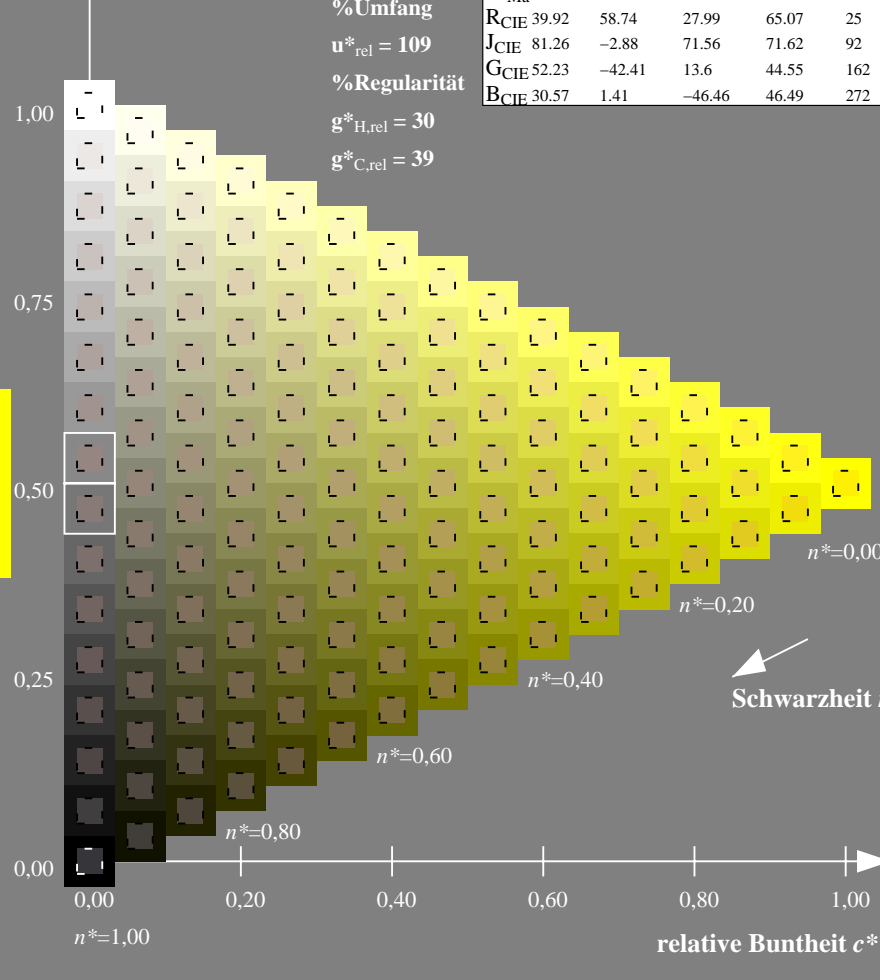
%Umfang

$u^*_{rel} = 109$

%Regularität

$g^*_{H,rel} = 30$

$g^*_{C,rel} = 39$



16-stufige Reihen für konstanten CIELAB Buntton 92/360 = 0.256 (rechts)

Eingabe:  $cmy0$ -Infeld,  $rgb$ -Umfeld  
Ausgabe: keine Eingabeänderung



Eingabe: Farbmimetrisches Offset-Reflektiv-System ORS18a

für Buntton  $h^* = lab^*h = 162/360 = 0.451$

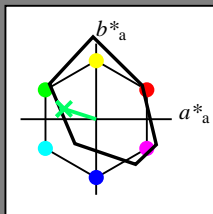
$lab^*tch$  und  $lab^*nch$

D65: Buntton G

LCH\*Ma: 47 51 162

olv\*Ma: 0.0 1.0 0.39

Dreiecks-Helligkeit  $t^*$



ORS18a; adaptierte CIELAB-Daten

	$L^*=L^*_a$	$a^*_a$	$b^*_a$	$C^*_{ab,a}$	$h^*_{ab,a}$
O <sub>Ma</sub>	35.32	60.99	44.6	75.56	36
Y <sub>Ma</sub>	83.65	-4.11	108.86	108.94	92
L <sub>Ma</sub>	43.49	-61.66	46.73	77.37	143
C <sub>Ma</sub>	52.18	-28.14	-32.36	42.9	229
V <sub>Ma</sub>	13.71	52.15	-59.7	79.28	311
M <sub>Ma</sub>	37.69	79.56	-33.73	86.42	337
N <sub>Ma</sub>	8.99	0.0	0.0	0.0	0
W <sub>Ma</sub>	92.16	0.0	0.0	0.0	0
RCIE	39.92	58.74	27.99	65.07	25
JCIE	81.26	-2.88	71.56	71.62	92
GCIE	52.23	-42.41	13.6	44.55	162
BCIE	30.57	1.41	-46.46	46.49	272

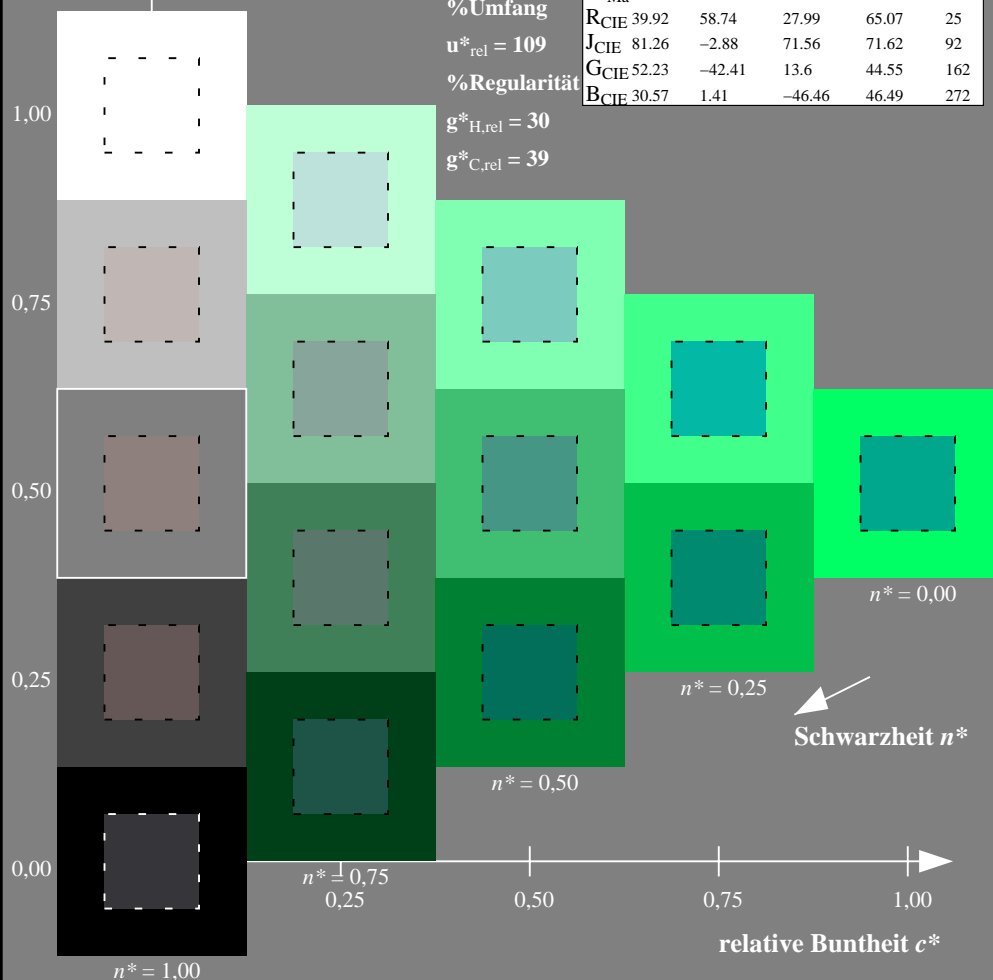
%Umfang

$u^*_{rel} = 109$

%Regularität

$g^*_{H,rel} = 30$

$g^*_{C,rel} = 39$



Dg640-7N, 5-stufige Reihen für konstanten CIELAB Buntton 162/360 = 0.451 (links)

Dg64: Prüfvorlage 1 nach DIN 33872-4, Buntton G, Seite 9/11  
Gleichheit für zwei Farbdefinitionen, ORS18a

Ausgabe: Farbmimetrisches Offset-Reflektiv-System ORS18a

für Buntton  $h^* = lab^*h = 162/360 = 0.451$

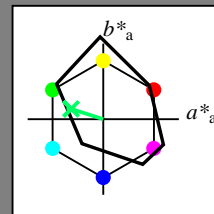
$lab^*tch$  und  $lab^*nch$

D65: Buntton G

LCH\*Ma: 47 51 162

olv\*Ma: 0.0 1.0 0.39

Dreiecks-Helligkeit  $t^*$



ORS18a; adaptierte CIELAB-Daten

	$L^*=L^*_a$	$a^*_a$	$b^*_a$	$C^*_{ab,a}$	$h^*_{ab,a}$
O <sub>Ma</sub>	35.32	60.99	44.6	75.56	36
Y <sub>Ma</sub>	83.65	-4.11	108.86	108.94	92
L <sub>Ma</sub>	43.49	-61.66	46.73	77.37	143
C <sub>Ma</sub>	52.18	-28.14	-32.36	42.9	229
V <sub>Ma</sub>	13.71	52.15	-59.7	79.28	311
M <sub>Ma</sub>	37.69	79.56	-33.73	86.42	337
N <sub>Ma</sub>	8.99	0.0	0.0	0.0	0
W <sub>Ma</sub>	92.16	0.0	0.0	0.0	0
RCIE	39.92	58.74	27.99	65.07	25
JCIE	81.26	-2.88	71.56	71.62	92
GCIE	52.23	-42.41	13.6	44.55	162
BCIE	30.57	1.41	-46.46	46.49	272

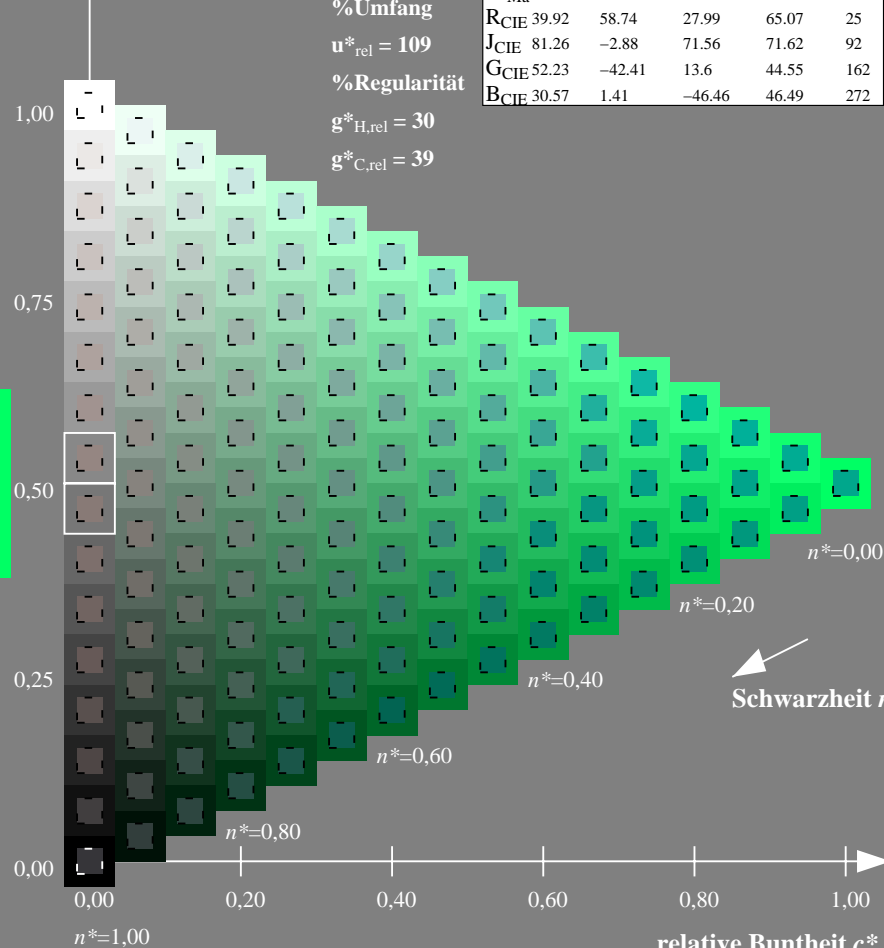
%Umfang

$u^*_{rel} = 109$

%Regularität

$g^*_{H,rel} = 30$

$g^*_{C,rel} = 39$



16-stufige Reihen für konstanten CIELAB Buntton 162/360 = 0.451 (rechts)

Eingabe:  $cmy0$ -Infeld,  $rgb$ -Umfeld  
Ausgabe: keine Eingabeänderung

Eingabe: Farbmétrisches Offset-Reflektiv-System ORS18a

für Buntton  $h^* = lab^*h = 272/360 = 0.755$

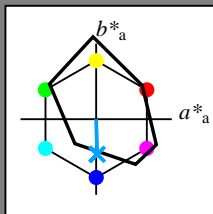
$lab^*tch$  und  $lab^*nch$

D65: Buntton B

LCH\*Ma: 38 42 272

olv\*Ma: 0.0 0.63 1.0

Dreiecks-Helligkeit  $t^*$



ORS18a; adaptierte CIELAB-Daten					
	$L^*=L^*_a$	$a^*_a$	$b^*_a$	$C^*_{ab,a}$	$h^*_{ab,a}$
O <sub>Ma</sub>	35.32	60.99	44.6	75.56	36
Y <sub>Ma</sub>	83.65	-4.11	108.86	108.94	92
L <sub>Ma</sub>	43.49	-61.66	46.73	77.37	143
C <sub>Ma</sub>	52.18	-28.14	-32.36	42.9	229
V <sub>Ma</sub>	13.71	52.15	-59.7	79.28	311
M <sub>Ma</sub>	37.69	79.56	-33.73	86.42	337
N <sub>Ma</sub>	8.99	0.0	0.0	0.0	0
W <sub>Ma</sub>	92.16	0.0	0.0	0.0	0
RCIE	39.92	58.74	27.99	65.07	25
JCIE	81.26	-2.88	71.56	71.62	92
GCIE	52.23	-42.41	13.6	44.55	162
BCIE	30.57	1.41	-46.46	46.49	272

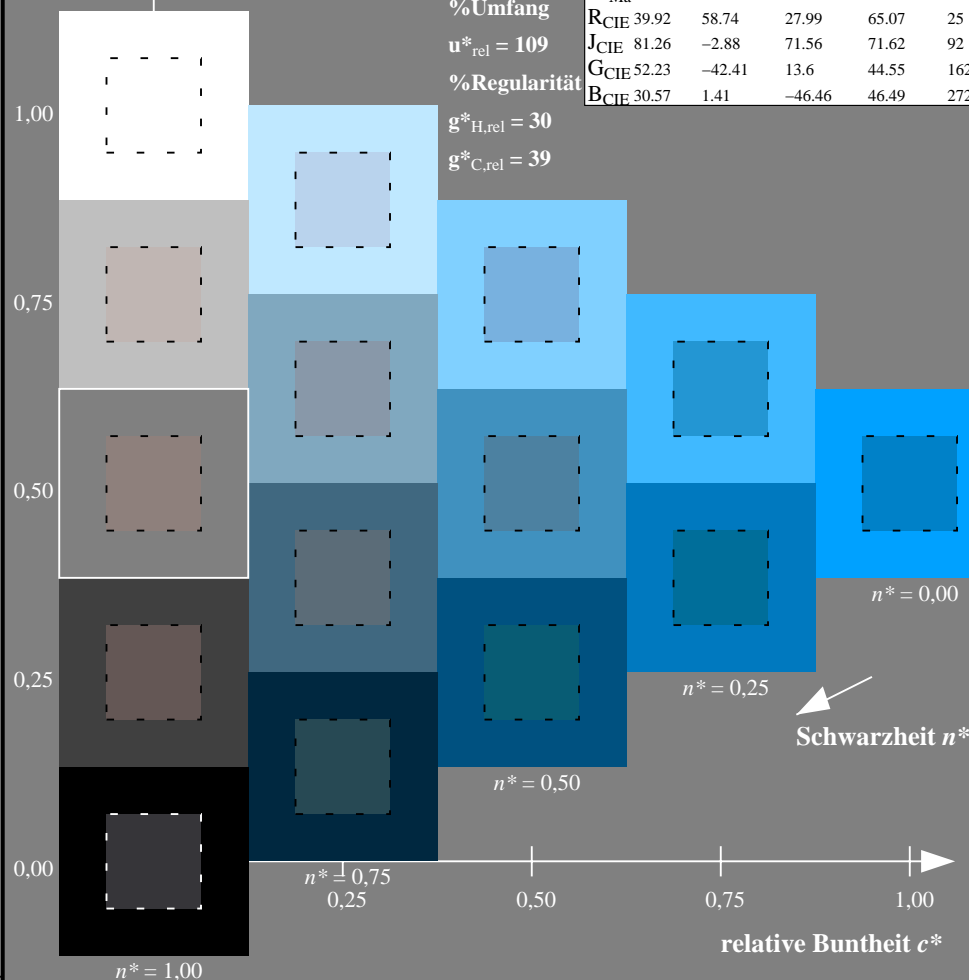
%Umfang

$u^*_{rel} = 109$

%Regularität

$g^*_{H,rel} = 30$

$g^*_{C,rel} = 39$



Dg640-7N, 5-stufige Reihen für konstanten CIELAB Buntton 272/360 = 0.755 (links)

Dg64: Prüfvorlage 1 nach DIN 33872-4, Buntton B, Seite 10/11  
Gleichheit für zwei Farbdefinitionen, ORS18a

Ausgabe: Farbmétrisches Offset-Reflektiv-System ORS18a

für Buntton  $h^* = lab^*h = 272/360 = 0.755$

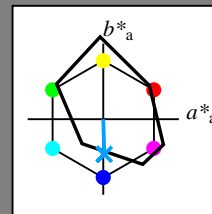
$lab^*tch$  und  $lab^*nch$

D65: Buntton B

LCH\*Ma: 38 42 272

olv\*Ma: 0.0 0.63 1.0

Dreiecks-Helligkeit  $t^*$



ORS18a; adaptierte CIELAB-Daten					
	$L^*=L^*_a$	$a^*_a$	$b^*_a$	$C^*_{ab,a}$	$h^*_{ab,a}$
O <sub>Ma</sub>	35.32	60.99	44.6	75.56	36
Y <sub>Ma</sub>	83.65	-4.11	108.86	108.94	92
L <sub>Ma</sub>	43.49	-61.66	46.73	77.37	143
C <sub>Ma</sub>	52.18	-28.14	-32.36	42.9	229
V <sub>Ma</sub>	13.71	52.15	-59.7	79.28	311
M <sub>Ma</sub>	37.69	79.56	-33.73	86.42	337
N <sub>Ma</sub>	8.99	0.0	0.0	0.0	0
W <sub>Ma</sub>	92.16	0.0	0.0	0.0	0
RCIE	39.92	58.74	27.99	65.07	25
JCIE	81.26	-2.88	71.56	71.62	92
GCIE	52.23	-42.41	13.6	44.55	162
BCIE	30.57	1.41	-46.46	46.49	272

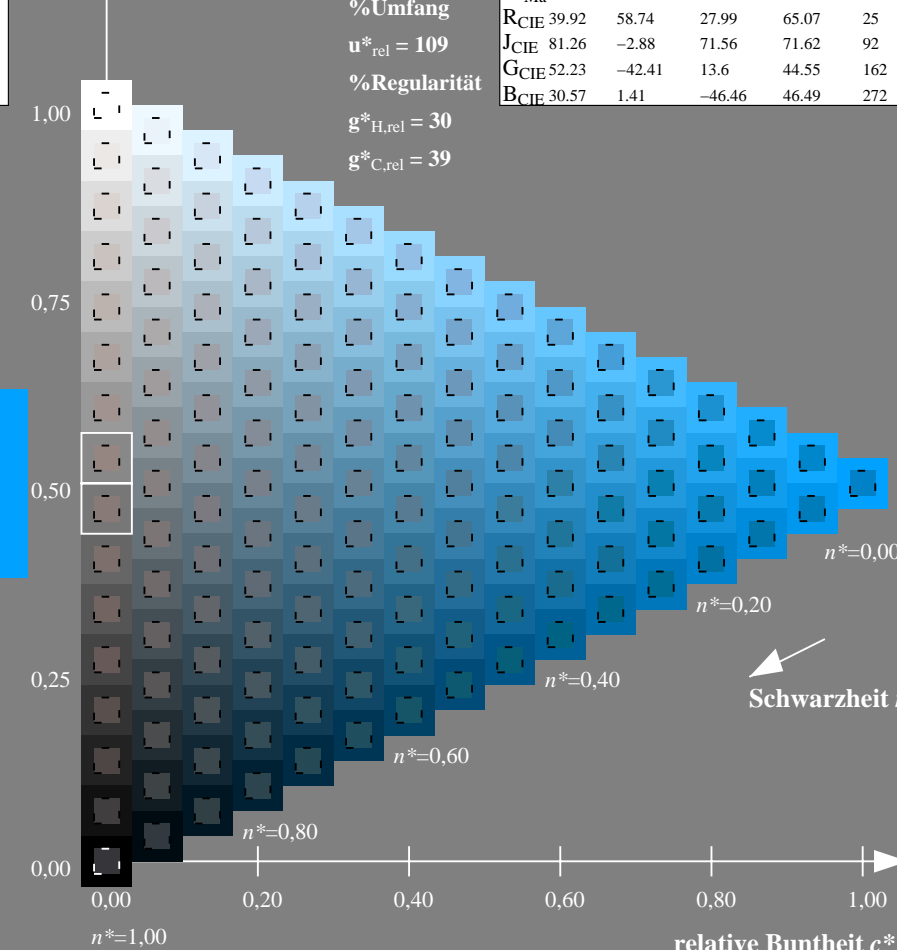
%Umfang

$u^*_{rel} = 109$

%Regularität

$g^*_{H,rel} = 30$

$g^*_{C,rel} = 39$



16-stufige Reihen für konstanten CIELAB Buntton 272/360 = 0.755 (rechts)

Eingabe: cmy0-Infeld, rgb-Umfeld  
Ausgabe: keine Eingabeänderung